



Universidad
Continental



17 - 18 de Setiembre
Auditorio de la Universidad Continental

FILOGENIA MOLECULAR DEL GENE SUC-1 PERTENECIENTE A UNA INVERTASA PRESENTE EN MICROORGANISMOS

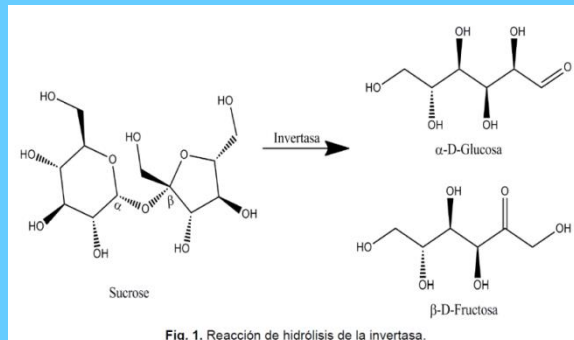
Boris Gutarra, Universidad Continental

Boris.gutarra@gmail.com

INVERTASAS

- Sacarasas, beta-Fructofuranosidasa (FFase, EC 3.2.1.26), Fructosiltransferasa (FTase, EC 2.4.1.9).

1) Son enzimas que convierte la sacarosa en glucosa y fructosa

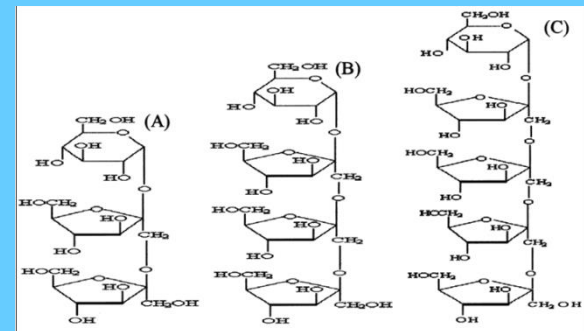


2) Tienen una actividad fructosiltransferasa



Donde:

$$n = 1-3$$



EFEKTOS BENEFICIOSOS

Prebiótico:

1. No degradado en estómago ni intestino delgado.
2. Transferido al colon intacto.
3. Estimular **selectivamente** el crecimiento y actividad de *Bifidobacterias* y *Lactobacillus*.

Mercado:

Demanda mundial para alimentos prebióticos:

Año 2008 : 167,000 Tn -> 390 millones de Euros

Para el 2020: USD 5.75 billones

- 1) Japón
- 2) USA
- 3) Europa

FUENTES



Objetivos

Realizar un estudio bioinformatico acerca de la filogenia del gene suc-1 y reconstruir la una proteína ancestral en base a esta información.

- 1. Caracterizacion del gene suc -1 y de la proteína que transcribe.**
- 2. Construccion del filograma del gene suc-1 en base a secuencias proteicas**
- 3. Reconstruccion de la secuencias nucleotidicas y proteicas ancestrales del gene suc-1**
- 4. Prediccion tridimensional de la estructura de la proteina ancestral del gene suc-1**

PROYECTO EN EJECUCION

1ra Convocatoria Concurso de Investigación Básica y Aplicada



CÓDIGO DEL PROYECTO: PIAP-1-P-361-13



FORMATO DE PROYECTO DE INV. APlicada

SECCION A: IDENTIFICACIÓN DE ENTIDADES PARTICIPANTES

A.1. Datos generales del Proyecto

1. Título del proyecto

PRODUCCION DE FRUCTOOLIGOSACÁRIDOS (FOS) Y SELECCIÓN DE LINAJES DE Aspergillus sp. DE ALTO RENDIMIENTO

2. Palabras Claves

FOS. fructooligosacáridos. Aspergillus sp.

3. Áreas prioritarias

BIOTECNOLOGIA

4. Área de Investigación

Área de investigación	SubÁrea de Investigación	Área Temática
INGENIERÍA Y TECNOLOGÍA	Biotecnología Industrial	Biotecnología Industrial

8. Datos del Coordinador General del proyecto

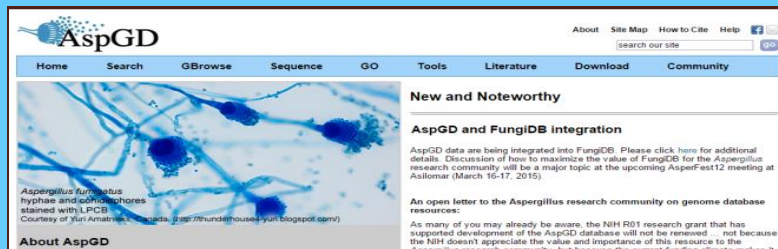
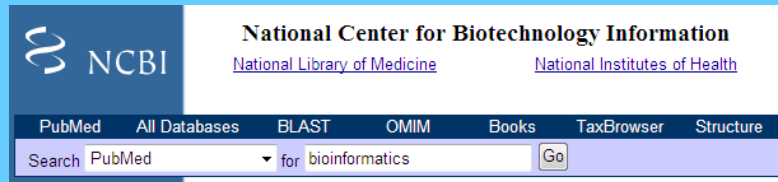
Es Investigador:	Si
Apellidos y Nombres	Gutarra Castillo, Boris Augusto
Entidad a la que pertenece	Entidad Solicitante
Fecha de nacimiento	1970-06-14
DNI	07511052
Teléfono Oficina	064481430
Teléfono personal	064502806
Celular	949478784
Correo Electrónico	boris.gutarra@gmail.com



Aspectos metodológicos: población y muestra

MATERIAL BIOINFORMATICO

- NCBI
- BLAST: BLASTP,TBLASTN
- MEGA 6
- Mr.BAYES
- GUINDANCE
- DARWIN
- PROSITE
- SWISS - MODEL
- Cap3
- Perl-Bioperl
- Python-Biophytom
- LINUX-UBUNTU 12.04



ANALISIS BIOINFORMATICO



National Center for Biotechnology Information
[National Library of Medicine](#) [National Institutes of Health](#)

PubMed All Databases BLAST OMIM Books TaxBrowser Structure

Search PubMed ▾ for bioinformatics

ESTs para Genero Aspergillus

421 secuencias

```
C:\Users\ERUBER\Desktop\SGR_locator\Aspergillus-ST-fasta - Notepad++.htm
```

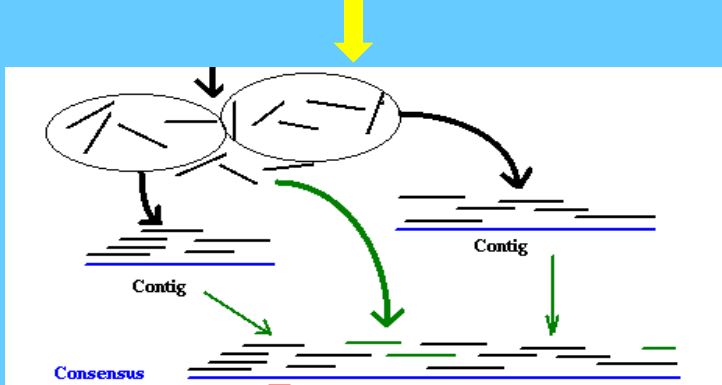
Aspergillus fumigatus

Aspergillus fumigatus

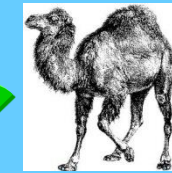
Aspergillus fumigatus

Aspergillus fumigatus

Edición de secuencias y creación de MultiFASTA



Ensamblaje y Busqueda



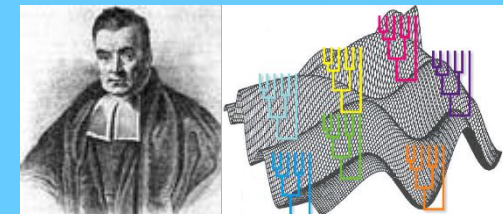
Per



Python



Python



ANÁLISIS FILOGENÉTICO

RECONSTRUCCION DE LA SECUENCIA ANCESTRAL

BBC Ingresar Menú

MUNDO

Noticias | América Latina | Internacional | Economía | Tecnología | Ciencia | Salud | S

Un software capaz de volver a la vida lenguas muertas

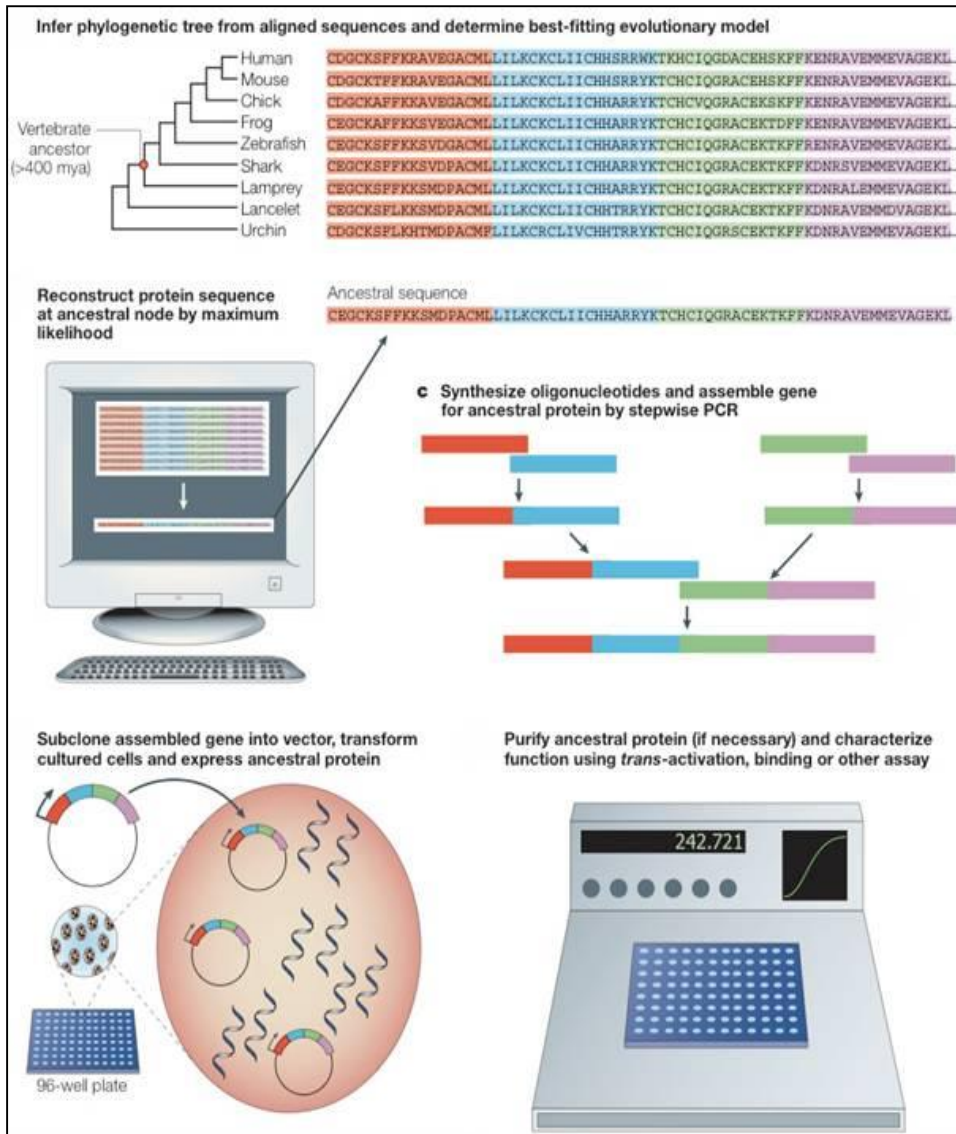
14 febrero 2013 Compartir

Ya ni las lenguas muertas se escapan de las nuevas tecnologías. Gracias a una novedosa herramienta, ahora es posible reconstruir aquellos idiomas que se extinguieron.

Se trata de un nuevo software creado por un equipo de investigadores con el fin de recuperar protolenguas, como se llama a las lenguas a partir de las cuales evolucionaron los idiomas modernos.

La mayoría de lenguas muertas no cuentan con registros escritos, lo que dificulta el proceso de reconstrucción.

Para probar el sistema, los científicos tomaron 637 idiomas hablados en Asia y en el Pacífico en la actualidad, y recrearon el lenguaje originario del que descendieron.

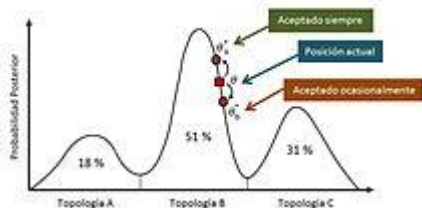


Máxima verosimilitud

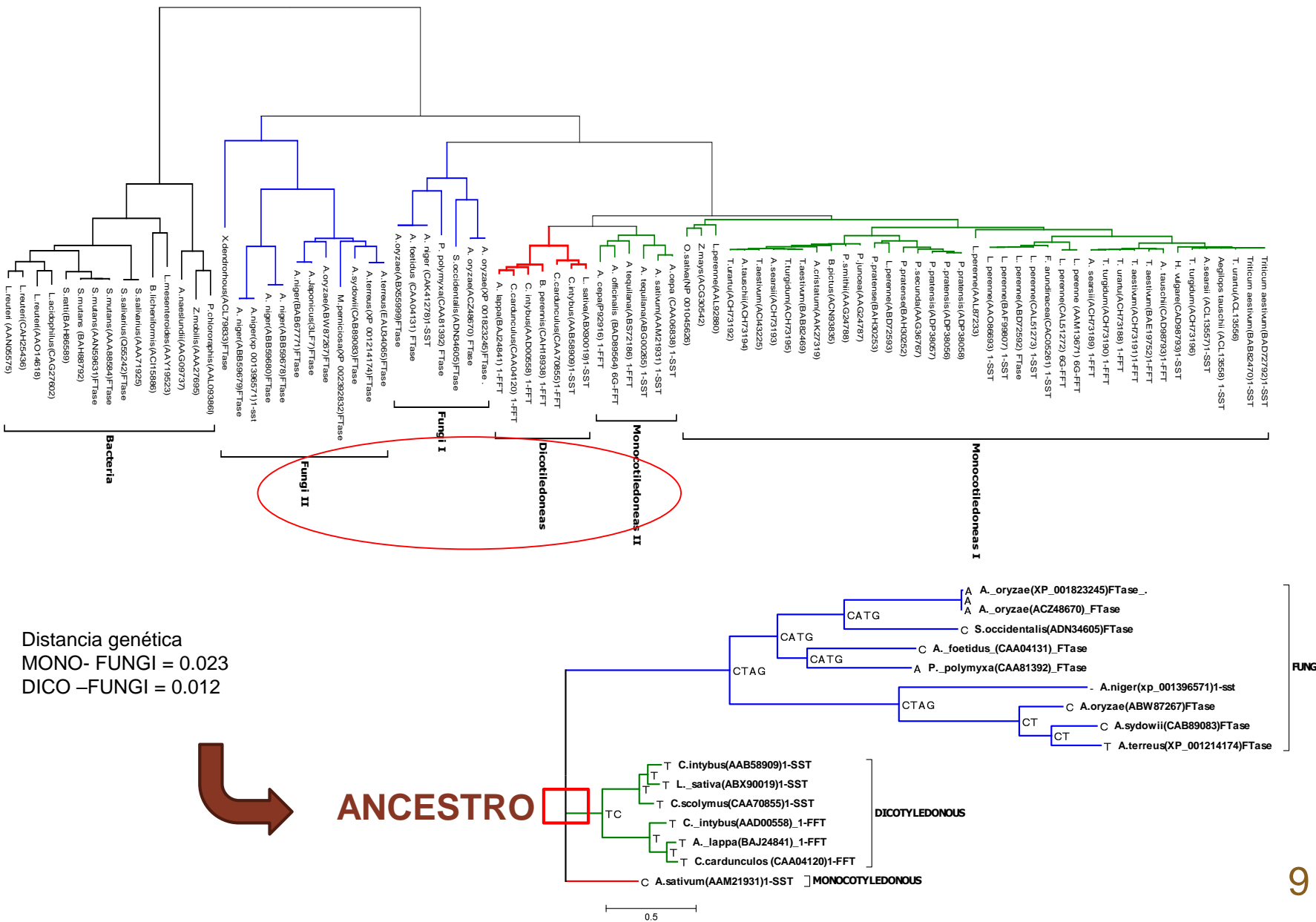
$$\hat{\theta}_{\text{mle}} = \arg \max_{\theta \in \Theta} \hat{\ell}(\theta | x_1, \dots, x_n).$$

Inferencia bayesiana

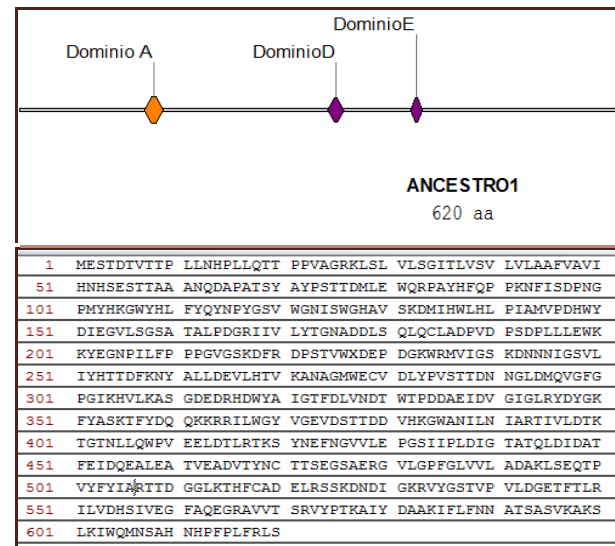
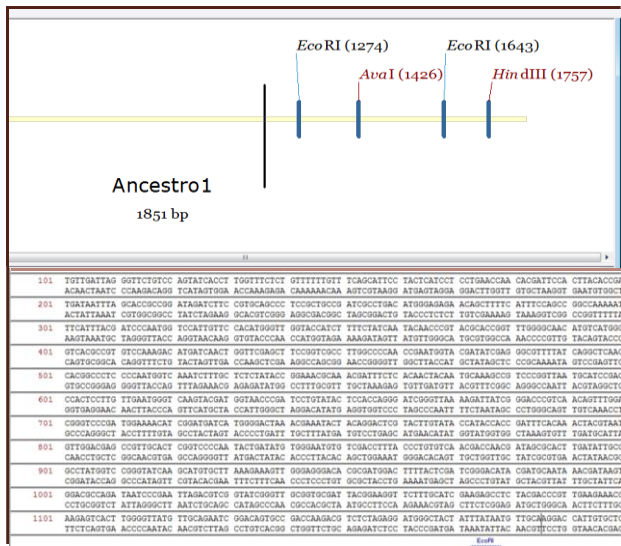
$$P(H|D) = \frac{P(H)P(D|H)}{P(D)}$$



Resultados: Filogenia



Resultados: DNA Y PROTEINA Ancestral



Secuencia de ADN

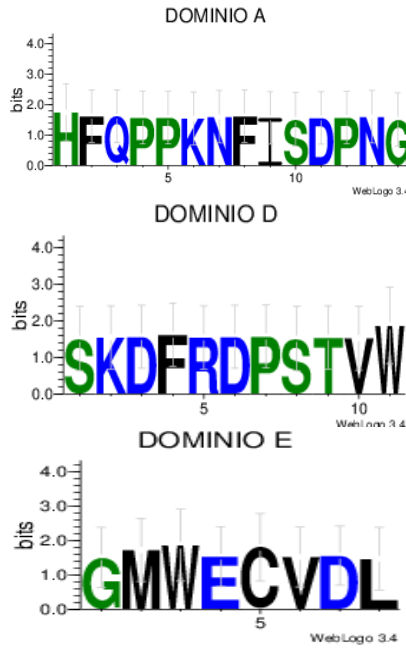
Traducción del ADN

Select: All None Selected:0
 Alignments Download GenPept Graphics Distance tree of results Multiple alignment

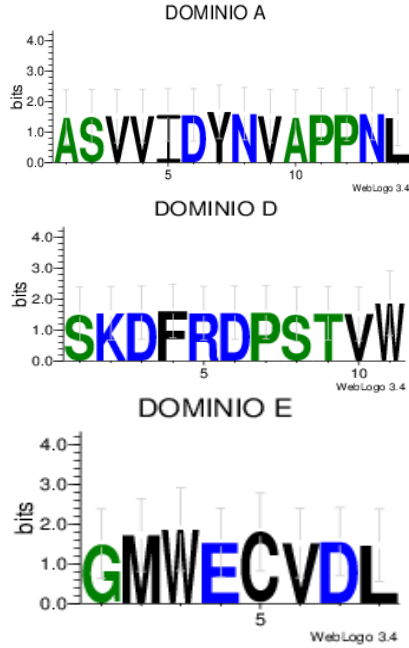
	Description	Max score	Total score	Query cover	E value	Ident	Accession
<input type="checkbox"/>	<u>fructan fructan 1-fructosyltransferase [Arctium lappa]</u>	1231	1231	100%	0.0	95%	BAJ24841_1
<input type="checkbox"/>	<u>fructan fructan 1-fructosyltransferase [Cynara cardunculus var. scolymus]</u>	1183	1183	100%	0.0	93%	CAA04120_2
<input type="checkbox"/>	<u>fructan-fructan 1-fructosyltransferase [Cichorium intybus]</u>	1113	1113	100%	0.0	86%	AAD00558_1
<input type="checkbox"/>	<u>fructan-fructan 1-fructosyltransferase [Cichorium intybus]</u>	1095	1095	100%	0.0	84%	AFB83199_1
<input type="checkbox"/>	<u>fructan-fructan 1-fructosyltransferase [Lactuca sativa]</u>	1079	1079	100%	0.0	84%	ABX90020_1
<input type="checkbox"/>	<u>2,1-fructan 2,1-fructan 1-fructosyltransferase precursor [Doronicum pardalianches]</u>	1077	1077	100%	0.0	82%	CAH18937_1
<input type="checkbox"/>	<u>1,2-beta-fructan 1F-fructosyltransferase [Taraxacum officinale]</u>	1076	1076	99%	0.0	83%	CAH25486_1
<input type="checkbox"/>	<u>1,2-beta-fructan 1F-fructosyltransferase [Helianthus tuberosus]</u>	1051	1051	100%	0.0	81%	CAA08811_1
<input type="checkbox"/>	<u>1,2-beta-fructan 1F-fructosyltransferase [Taraxacum officinale]</u>	1051	1051	99%	0.0	82%	CAH25487_1
<input type="checkbox"/>	<u>2,1-fructan 2,1-fructan 1-fructosyltransferase precursor [Viola tricolor]</u>	1013	1013	99%	0.0	79%	CAH18892_1
<input type="checkbox"/>	<u>2,1-fructan 2,1-fructan 1-fructosyltransferase precursor [Echinops ritro]</u>	1012	1012	99%	0.0	78%	CAH18891_1
<input type="checkbox"/>	<u>2,1-fructan 2,1-fructan 1-fructosyltransferase precursor [Bellis perennis]</u>	931	931	84%	0.0	84%	CAH18938_1
<input type="checkbox"/>	<u>sucrose sucrose 1-fructosyltransferase [Cynara cardunculus var. scolymus]</u>	749	749	99%	0.0	57%	CAA70855_1
<input type="checkbox"/>	<u>beta-fructofuranosidase [Daucus carota]</u>	739	739	99%	0.0	54%	CAA53099_1
<input type="checkbox"/>	<u>beta-fructofuranosidase [Daucus carota]</u>	734	734	99%	0.0	54%	CAA53098_1
<input type="checkbox"/>	<u>sucrose sucrose 1-fructosyl transferase [Taraxacum officinale]</u>	734	734	97%	0.0	57%	CAB60153_1

Comparación y determinación de identidad

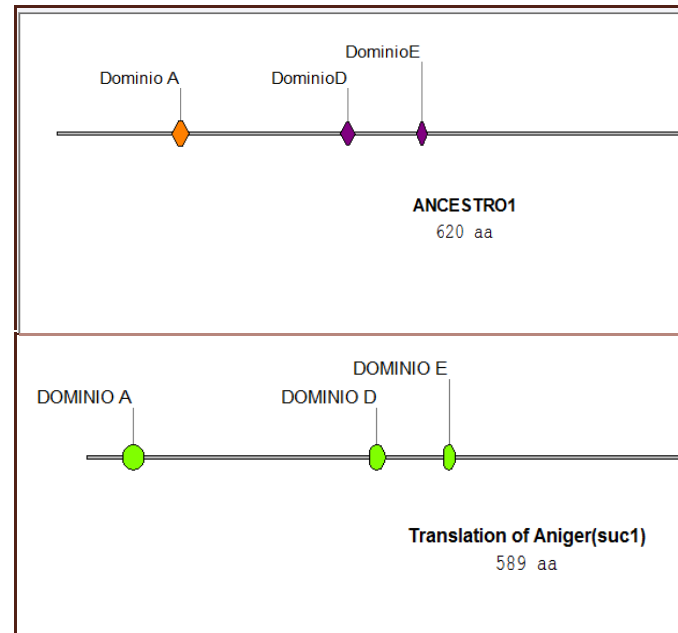
DOMINIOS A D Y E DE LA PROTEINA ANCESTRAL



Ancestro



SUC-1



PREDICCIÓN : ESTRUCTURA DE LA PROTEINA ANCESTRAL

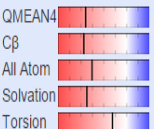
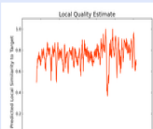
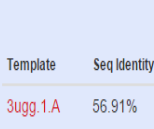
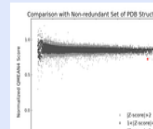
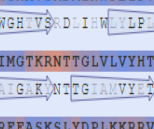
All Projects

Untitled Project Created: today at 05:59

Summary Templates 39 Models 3  

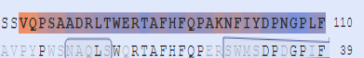
Model Results

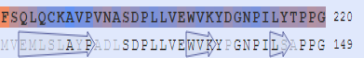
Model 01  

Oligo-State		Ligands		GMQE QMEAN4	
MONOMER		None		0.74	-3.58
QMEAN4		-3.58		0.74	-3.58
C _B		-3.73		0.74	-3.58
All Atom		-3.00			
Solvation		-3.47			
Torsion		-1.22			

Template	Seq Identity	Coverage	Description
3ugg.1.A	56.91%		Sucrose:(Sucrose/fructan) 6-fructosyltransferase

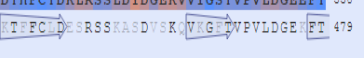
Model-Template Alignment

Model_01 METTEPLTDLEHAPNHTPLLDHPEPPPAVRKRLLIRVLSSITLVSLLFVSAFLILLNQHDSTYTDNNLAPPDRSS  110
3ugg.1.A -----PDNAVYPWNSAQQLWRTAFHFQPERSNWSDPDGPIF 39

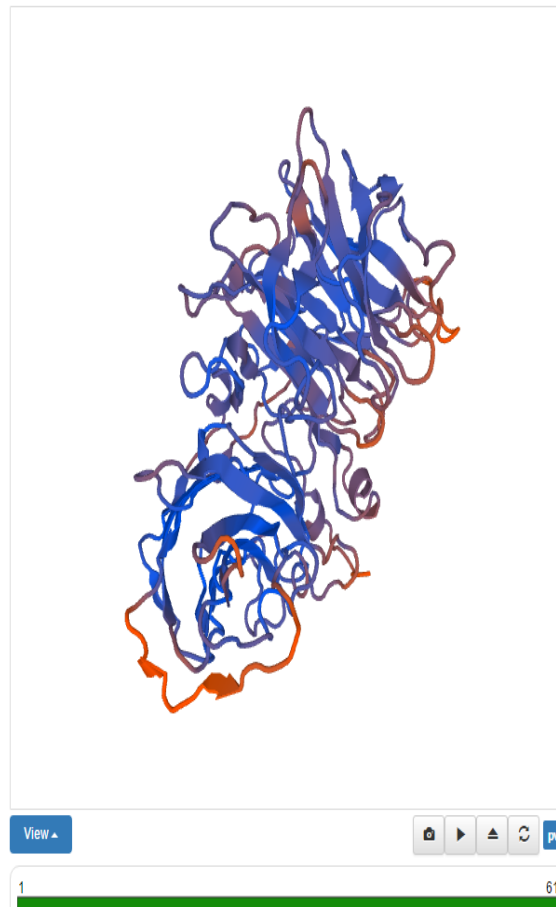
Model_01 HMGWYHLPYQYNPYAPVWGNMSWGHAVSKDMINWFLPVALAPTEWYDIEGVLSGTTALPNQIFALYTGNANDFSQLQCKAVPVNASDPLLVEWVKYDGNPILYTPPG 220
3ugg.1.A  149

Model_01 IGLKDYRDPTVWTGPDGKHMIMGTKRNTTGLVLVYHTTDFTNYVMLDEPLHSVPNTDMWECVDLYPVSNTNDSDALIAAYGPGIKHVKLVLESWEGHAMDFYSIGTYDAI 330
3ugg.1.A VSPTEFRDSTGWYVWYDGTWRIAIGAKNTGIANVYETMDFKSERLEELIHWYDGTGLWECVDLYPSTTGEKLETSVNGPRKHVKLAKSDEQQEDTYAIGTYDLG 259

Model_01 NDKWTPDNPELDVGIGLRCDYGRFFASKSLYDPLKKRRTWGYVAESDSADQDVSRGWATIYNVARTIVLDRKTGTHLLQWPVEEIESLRSNGREFKEMTLEPGSIPLD 440
3ugg.1.A INKWPDPNEEDVCGISLPWDWGNYIASKTFYDPKRRVWAWNEEDSVADEPFGWVLTITBWLQDKTGTLWLPWEEESTLSSKEPSKWKAGSVVPLD 369

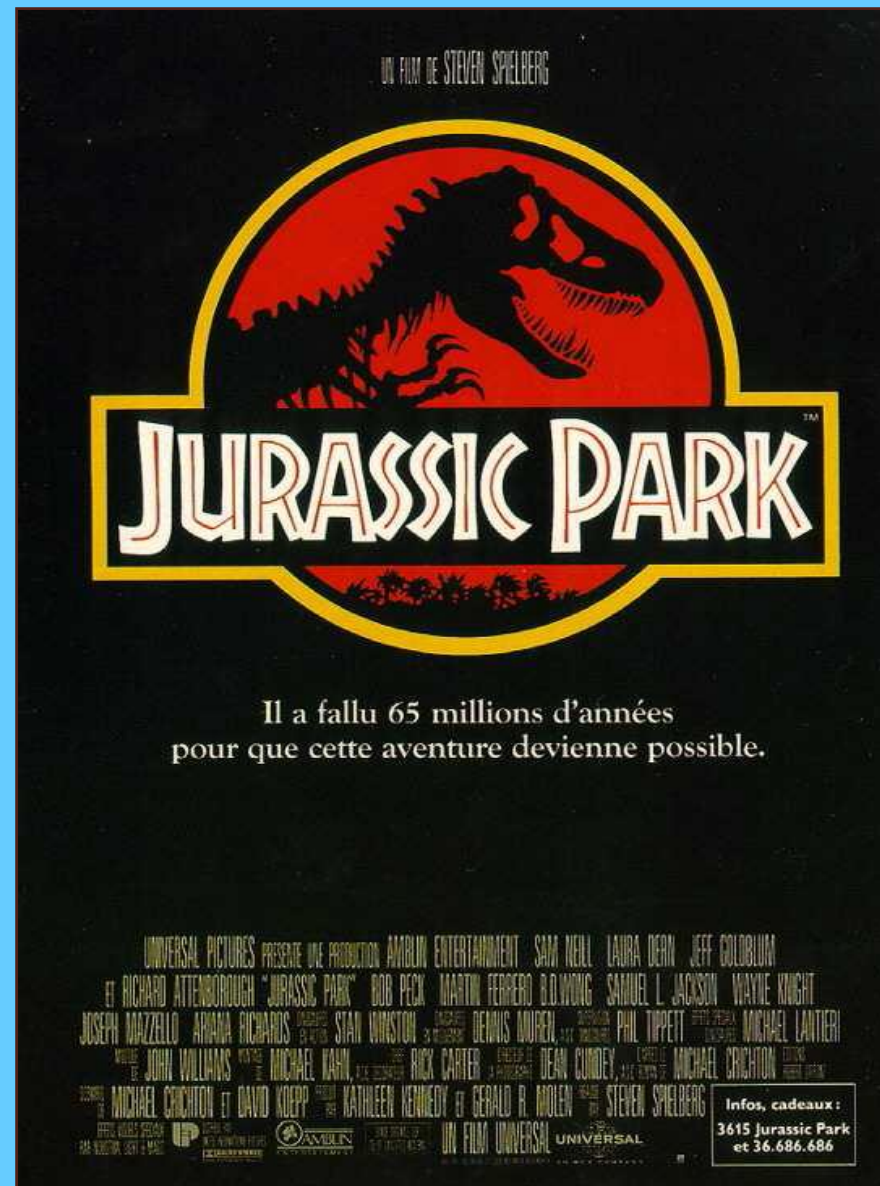
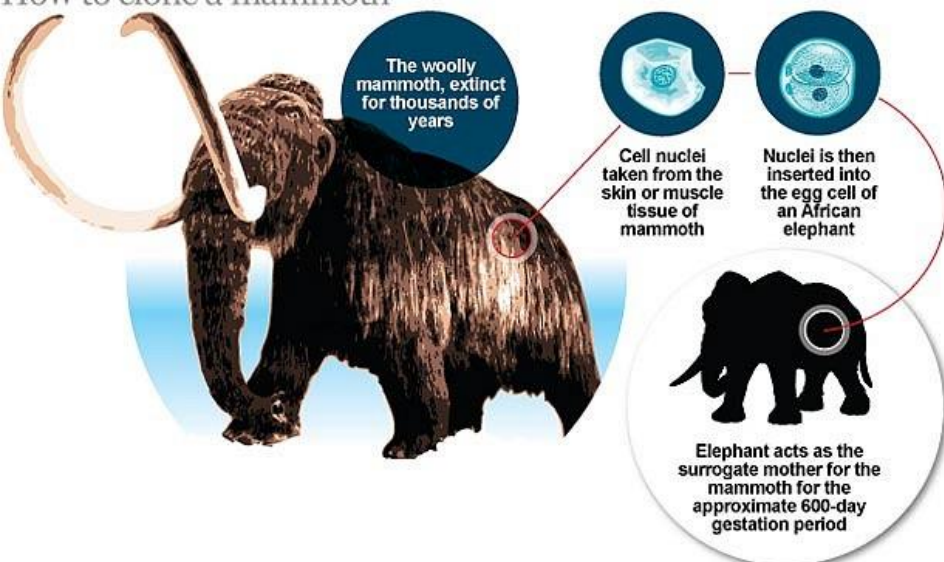
Model_01 IGSATQLDIVATFEVDQEAALKATSDTNDEYGCCTTSGAAERGSFGPFGIAVLADGTLSELTpvYFYIAKNTKGVDTHFC TDKLRSSLDYDGEKVYYGSTVPLDGEFT 550
3ugg.1.A  479

Model_01 MRVLVDHSVEGFAQGGRTVITSRVYPTKAIFYEGAKLFVFNNTTSVAKTLKVMQSHALIQPF 617
3ugg.1.A MRVLVDHSIVEFAQGGRTVITSRVYPTKAIFYEGAKLFVFNNTASLKIWMNSA1QPF 544



RECONSTRUCCION DE ORGANISMOS : CIENCIA FICCION O REALIDAD?

How to clone a mammoth



Conclusiones

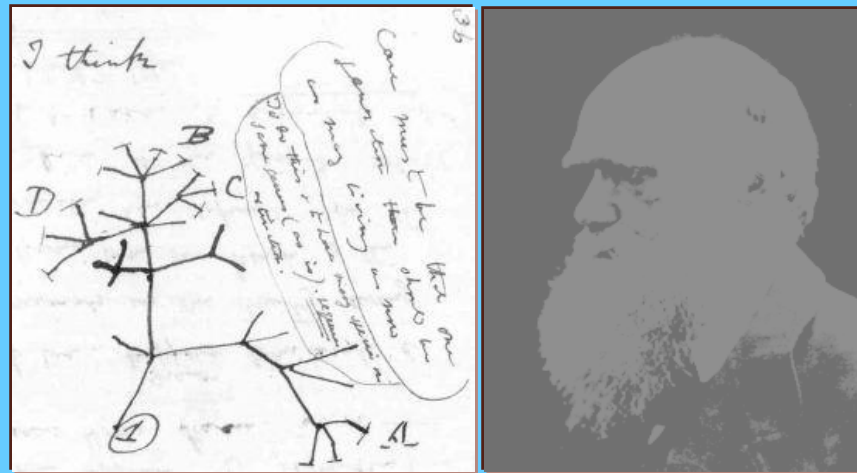
- 1) Se logró diseñar la secuencia ancestral del gene SUC-1 constituido por un Exón de 1851 pb.
- 2) La proteína ancestral está constituida por 620aa.
- 3) Los dominios A, D y E de la proteína ancestral mostraron diferente posicionamiento y composición a la proteína Suc1.
- 4) Es posible el diseño y la reconstrucción de la proteína ancestral de una invertasa mediante métodos Bioinformáticos.

Referencias bibliográficas

- B. S. W. Chang, K. Jónsson, M. A. Kazmi, M. J. Donoghue, and T. P. Sakmar. Recreating a functional ancestral archosaur visual pigment. *Molecular Biology and Evolution*, 19(9):1483–1489, 2002.
- W. M. Fitch. Toward Defining the Course of Evolution: Minimum Change for a Specific TreeTopology. *Systematic Zoology*, 20(4):406–416, 1971.
- B. A. Malcolm, K. P. Wilson, B. W. Matthews, J. F. Kirsch, and A. C. Wilson. Ancestrallysozymes reconstructed, neutrality tested, and thermostability linked to hydrocarbonpacking. *Nature*, 345(6270):86–89, 1990.
- T. Pupko, I. Pe'er, R. Shamir, and D. Graur. A fast algorithm for joint reconstruction of ancestral amino acid sequences. *Molecular Biology and Evolution*, 17(6):890–896, 2000.
- D. L. Swofford and W. P. Maddison. Reconstructing Acestral Character States Under WagnerParsimony. *Mathematical Biosciences*, 87:199–229, 1987.
- J. A. Ugalde, B. S. W. Chang, and M. V. Matz. Evolution of coral pigments recreated. *Science*, 305(5689):1433–1433, 2004.Z. Yang, S. Kumar, and M. Nei. A new method of inference of ancestral nucleotide and aminoacid sequences. *Genetics*, 141(4):1641–1650, 1995.

"Nada en la Biología tiene sentido excepto a la luz de la Evolución"

Theodosius Dobzhansky



GRACIAS